

ЛИТЕРАТУРА

1. Зельдович Я. Б., Райзэр Ю. П. Физика ударных волн и высокотемпературных гидродинамических явлений. Физматгиз, 1963.
2. Лаврентьев М. А. Проблема пробивания при космических скоростях. Искусственные спутники Земли, 1959, № 3.
3. Станюкович К. П. Элементы теории удара твердых тел с большими (космическими) скоростями. Искусственные спутники Земли, 1960, № 4.
4. Сагомонян А. Я. К задаче о взаимодействии тел с очень большими скоростями. Докл. АН СССР, 1964, т. 156, № 5.
5. Уиппл Ф. А. Оценка возможности метеоритных пробоев в космических летательных аппаратах. Вопросы ракетной техники. Сб. перев. и обз. ин. период. лит., 1965, № 4.

ОБ ОТНОСИТЕЛЬНЫХ РАЗМЕРАХ ЗОН РАЗРУШЕНИЯ ПРИ ВЗРЫВАХ

Д. М. Камышников

(Москва)

Устанавливается зависимость между размером полости камуфлетного взрыва и размером зоны разрушения окружающей пористой среды.

Относительный размер зоны разрушения определяется скачком плотности и не зависит от величины плотности энергии и величины заряда.

При камуфлетных взрывах зарядов любой формы замечено, что смещение среды, окружающей заряд, имеет место в пространстве существенно ограниченных размеров [1]. Согласно сказанному в работах [2-4], можно утверждать, что зона максимально разрушенной среды ограничивается и отделяется от окружающего ненарушенного (точнее — слабо деформированного) массива сферическими трещинами.

Для определения радиуса R_1 зоны сферических трещин отслаивания предлагаются использовать следующее соображение.

Вследствие ограниченности объема среды, деформированной энергией взрыва, будем предполагать, что свободный объем камуфлетной полости образовался за счет полного устранения или частичного уменьшения порового пространства в зоне разрушенной среды. Пусть в недеформированном до взрыва пространстве среда обладала пористостью n_0 , плотностью ρ_0 и минералогической плотностью ρ_* , связанными следующим соотношением:

$$n_0 = \frac{\rho_* - \rho_0}{\rho_*} \quad (1)$$

Здесь n_0 — пористость или объем пор единицы объема породы, а ρ_* — масса единицы объема породы без пор.

После взрыва заряда ВВ, занимавшего сферический объем радиуса R_0 , соответственные величины приняли значения n и ρ , также связанные условием (1). Причем подчеркиваем, что эти изменения произошли только в зоне отслоившейся уплотненной среды в объеме некоторого радиуса R_1 . Следуя условию сохранения массы в заданном объеме несжимаемой среды до и после взрыва, получим уравнение вида

$$\int_V^{V_1} \rho dV = \rho_0 (V_1 - V_0) \quad (2)$$

Здесь V_0 , V и V_1 — объемы заряда, камуфлетной полости и зоны откола соответственно.

В первом приближении плотность в зоне разрушений может быть принята постоянной $\rho = \rho_2 = 0,5 (\rho_0 + \rho_1)$, либо линейно зависящей от радиуса r в виде

$$\rho = \rho_1 - \frac{\rho_1 - \rho_0}{R_1 - R} (r - R) \quad (3)$$

где ρ_1 — плотность на стенке полости.

При этом соотношение (2) примет вид

$$\frac{1 - n_2}{1 - n_0} V = V_1 \frac{n_0 - n_2}{1 - n_0} + V_0 \quad (4)$$

Согласно [3], для сферических зарядов в среднем в грунтах $R/R_0 \approx 8.5$; по [2] — для типичных грунтов $V/V_0 \approx 50$, а в принятых обозначениях очевидны неравенства $V_0/V_1 < V_0/V$ и $V_0/V_1 \ll 1$. Пренебрегая на основе сказанного отношением V_0/V_1 в выражении (4), получим не зависящее от формы и объема заряда выражение для

$$\frac{V}{V_1} = \frac{n_0 - n_2}{1 - n_2} = 1 - \frac{\rho_0}{\rho_2} \quad (5)$$

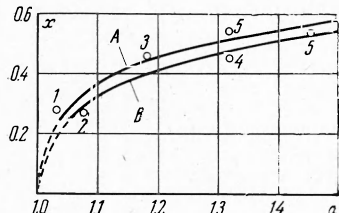
При условии (3) соотношение (2) дает различные результаты для цилиндрических и сферических зарядов. Так, для цилиндрических зарядов больших удлинений

$$\frac{R}{R_1} = \frac{\alpha - 1 + \sqrt{9(\alpha - 1)^2 + 12(\alpha - 1)}}{4\alpha + 2} \quad (\alpha = \frac{\rho_1}{\rho_0}) \quad (6)$$

Упрощенная зависимость дает

$$\frac{R}{R_1} = \left(\frac{\alpha - 1}{\alpha + 1} \right)^{1/2} \quad (7)$$

Для взрывов со сферической симметрией уравнение (2) при условии (3) дает скачок плотности в виде



Фиг. 1

$$\alpha = \frac{1 + x + x^2 + x^3}{1 + x + x^2 - 3x^3} \quad \left(x = \frac{R}{R_1} \right) \quad (8)$$

В аналогичной форме зависимость (5) дает

$$\alpha = \frac{x^3 + 1}{1 - x^3} \quad (9)$$

На фиг. 1 выражения (8) и (9) представлены графически кривыми A и B. Их малое отличие дает очевидное преимущество упрощенному соотношению (9), которое легко разрешается относительно x (см. (5)). На той же фиг. 1 нанесены результаты экспериментальных камуфлетных взрывов как химических, так и ядерных зарядов [1].

	1	2	3	4	5
R_m	45—16.5	34.5—35	5	19	12
R_{1m}	45—60	120—140	11	40	22
ρ_0	2.16	—	1.56	1.8—2.2	1.8—2.2
ρ_1	—	—	1.84	—	—
n_0	2.7	~8	—	17.4—31.4	17.4—31.4
n_1	0	0	—	0	0

В таблице и на графике под номерами 1, 2, 4 и 5 помещены результаты следующих ядерных взрывов, проведенных в США: «Гном», проект «Ойлсенд», «Райнир» и «Нептун». Под номером 3 указаны данные взрыва химического ВВ.

Поступила 13 V 1966

ЛИТЕРАТУРА

- Нифонтов Б. И., Протопопов Д. Д., Ситников И. Е., Куликова А. В. Подземные ядерные взрывы. Атомиздат, 1965.
- Баум Ф. А., Станюкович К. П., Шехтер Б. И. Физика взрыва. Физматгиз, 1959.
- Покровский Г. И., Федоров И. С. Действие удара и взрыва в деформируемых средах. Промстройиздат, 1957.
- Камышников Д. М., Колодяжный Ю. А. Определение размеров зоны разрушения горной породы под действием взрыва. Научн. тр. Моск. ин-та радиоэлектр. и горн. электромех., 1964, № 37.